

8,46

3

ИНСТИТУТ ЯДЕРНОЙ ФИЗИКИ СИБИРСКОГО ОТДЕЛЕНИЯ АН СССР

препринт 100

Г.И.Димов, О.Я.Савченко

Мощный импульсный источник
нейтральных атомов и
отрицательных ионов водорода

г.Новосибирск 1967

А н н о т а ц и я

Описан импульсный источник нейтральных атомов и отрицательных ионов водорода с энергиями от 1 до 13 кв. Длительность импульса источника - 100 мсек, максимальный поток $H^-_0 = 3,75 \cdot 10^{19}$ I/сек (600 мА), максимальный ток H^- -15 мА, угловая расходимость частиц в пучке $0,015 \pm 0,020$ рад.

ионов водорода в исходном состоянии. Время горения дуги - 0,1 с. (Рис.1).
На рисунке изображена конструкция дугового источника. Схема
показывает, что дуга горит между двумя никелевыми сетками.
Сетки расположены на расстоянии 0,13 см друг от друга. Струя плазмы, вытекающая из дугового канала, попадает на сетку и направляется в перезарядную трубку.

Источник атомов и отрицательных ионов водорода аналогичен описанному в /1/. Его конструкция имеет ряд особенностей и представлена на рис.1. Для формирования протонного пучка в новой конструкции дополнительно поставлена сетка на выходе дугового источника протонов. Кроме этого две конусные диафрагмы заменены одной плоской диафрагмой. Эта диафрагма поставлена таким образом, чтобы плазменная струя, выбрасываемая из дугового канала, попадала только на сетку (рис.1). Шаг сетки на выходе из дугового источника - 0,13 мм, на входе в перезарядную трубку - 0,23 мм, диаметр никелевых нитей сеток - 0,05 мм. Внутренний диаметр оправок сеток - 16 мм. Перезарядная трубка имеет внутренний диаметр 25 мм, длина трубы - 250 мм.

Рабочие характеристики дугового источника следующие: длительность импульса дуги - 100 мксек, частота следования импульсов 1/5 гц. Протонный ток дугового источника регулировался в интервале 200-1000 мА изменением напряжения на дуге (рис.2). Протонный ток рассчитывался по "закону трех вторых" при напряжениях появления плазмы в вытягивающем межсеточном промежутке. Рассчитанное значение тока подтверждалось измерениями тока протонов, проходящих в перезарядную трубку. Давление водорода в трубке в момент перезарядки $(I + 3) \cdot 10^{-2}$ мм.рт.ст. После прохождения перезарядной мишени пучок частиц, состоящий из смеси H^0 , H^+ , H^- , разделялся магнитным полем на отдельные компоненты, которые попадали в измерительные устройства (рис.3). Токи H^+ , H^- измерялись цилиндром Фарадея. Поток H^0 измерялся по вторичной электронной эмиссии с поверхности сплава Д16. Зависимость коэффициента вторичной эмиссии от энергии частиц приведена на рис.4/2/.

Входные отверстия измерительных устройств имели диаметр 45 мм, длина пути частиц - 80 см. Давление в вакуумной камере $(6 \pm 9) \cdot 10^{-6}$ мм.рт.ст.

Тренировка источника производилась следующим образом. Вытягивающее напряжение поднималось до 13 кв. ступени по $0,25 \pm 0,3$ кв. Напряжение на ступень повышалось только в том случае, если среднее число импульсов тока, сопровождаемое пробоями в вытягивающем промежутке становилось меньше $10 \pm 15\%$ от общего числа импульсов. Обычно тренировка источника длилась 3-4 часа.

На рис.5 показаны типичные зависимости выхода H^+ и H^- от величины протонного тока дугового источника. Как видно из рисунка, отношение потоков H^+ и H^- близко к расчетному равновесному значению 44 /3/.

Выход частиц линейно растет с увеличением протонного тока до некоторого характерного значения. На линейном участке выход

H^+ и H^- при постоянном межсеточном расстоянии не зависит от вытягивающего напряжения в диапазоне от 5 до 13 кв. С увеличением межсеточного расстояния выход частиц несколько возрастает. Так при расстоянии между сетками 1,5 мм H^+ составляет 68%, а при межсеточном расстоянии 3,4 мм - 80%. По-видимому это связано с увеличением протонного тока из-за ионизации водорода в вытягивающем промежутке. На рис.6 приведены зависимости характерного протонного тока от вытягивающего напряжения при расстоянии между сетками 1,5 и 3,4 мм. С увеличением вытягивающего напряжения и уменьшением межсеточного расстояния линейность выхода частиц сохраняется до больших значений протонного тока.

Распределение плотностей частиц в пучках определялось по сцинтилляции прозрачного кварца при бомбардировке его частицами. В линейной области поперечное распределение плотности нейтральных атомов водорода не зависит от интенсивности пучка. На рис.7 показано поперечное распределение плотности H^+ на расстояние 80 см от входа в перезарядную трубку. Пучки частиц (как H^+ так и H^-) имеют эллиптическое сечение. Большая ось эллипса перпендикулярна направлению нитей сетки, расположенной на выходе из дугового источника. Расходимость пучка H^+ по большой оси составляет 0,02 рад., по малой - 0,015 рад.

В нелинейной области расходимость пучков резко увеличивалась и ограничивалась геометрией перезарядной трубы. При этом наблюдался выход плазмы в межсеточный промежуток.

Приведенные результаты свидетельствуют о том, что снижение интенсивности и расходимость пучков связаны в основном с геометрией электрического поля в вытягивающем промежутке. Описанные эксперименты еще раз подтверждают вывод, сделанный в /I/, о практически полной нейтрализации пространственного заряда протонного пучка в перезарядной трубке.

Авторы считают необходимым отметить большое участие Ю.Г.Кононенко в создании дугового источника протонов описанного в /I/ и использованного в этой работе.

Л и т е р а т у р а

1. Г.И.Димов, Ю.Г.Кононенко, О.Я.Савченко, В.Г.Шамовский.
ЖТФ (в печати).

2. О.Я.Савченко. Препринт ИЯФ СО АН СССР (1967).

Составлено на основе материалов, полученных в результате изучения
отложений в северо-западной части Балтийского моря и в северо-западной
части Балтийской котловины, выполненных в 1966 г. в районе

Балтийской губы, а также в 1967 г. в районе острова Рюген. В результате изучения
отложений, полученных в ходе отбора проб в северо-западной части Балтийской
котловины, было установлено, что в северо-западной части Балтийской котловины
важное значение имеет ветровое обогащение.

В северо-западной части Балтийской котловины ветровое обогащение
является преобладающим в северной части Балтийской котловины. Там преобладают ветры с севера 1,5-2 м/с, содержащие
большое количество песка и гравия. Ветровое обогащение в северной
части Балтийской котловины характеризуется высокой интенсивностью
и продолжительностью. В северной части Балтийской котловины преобладают
ветры с севера 1,5-2 м/с. С увеличением ветрового обогащения
в северной части Балтийской котловины количество песка и гравия
увеличивается в 10-15 раз. Ветровое обогащение в северной части Балтийской котловины
характеризуется высокой интенсивностью и продолжительностью.

В северной части Балтийской котловины преобладают ветры с севера 1,5-2 м/с, содержащие
большое количество песка и гравия. Ветровое обогащение в северной части Балтийской котловины
характеризуется высокой интенсивностью и продолжительностью. Ветровое обогащение в северной части Балтийской котловины
характеризуется высокой интенсивностью и продолжительностью.

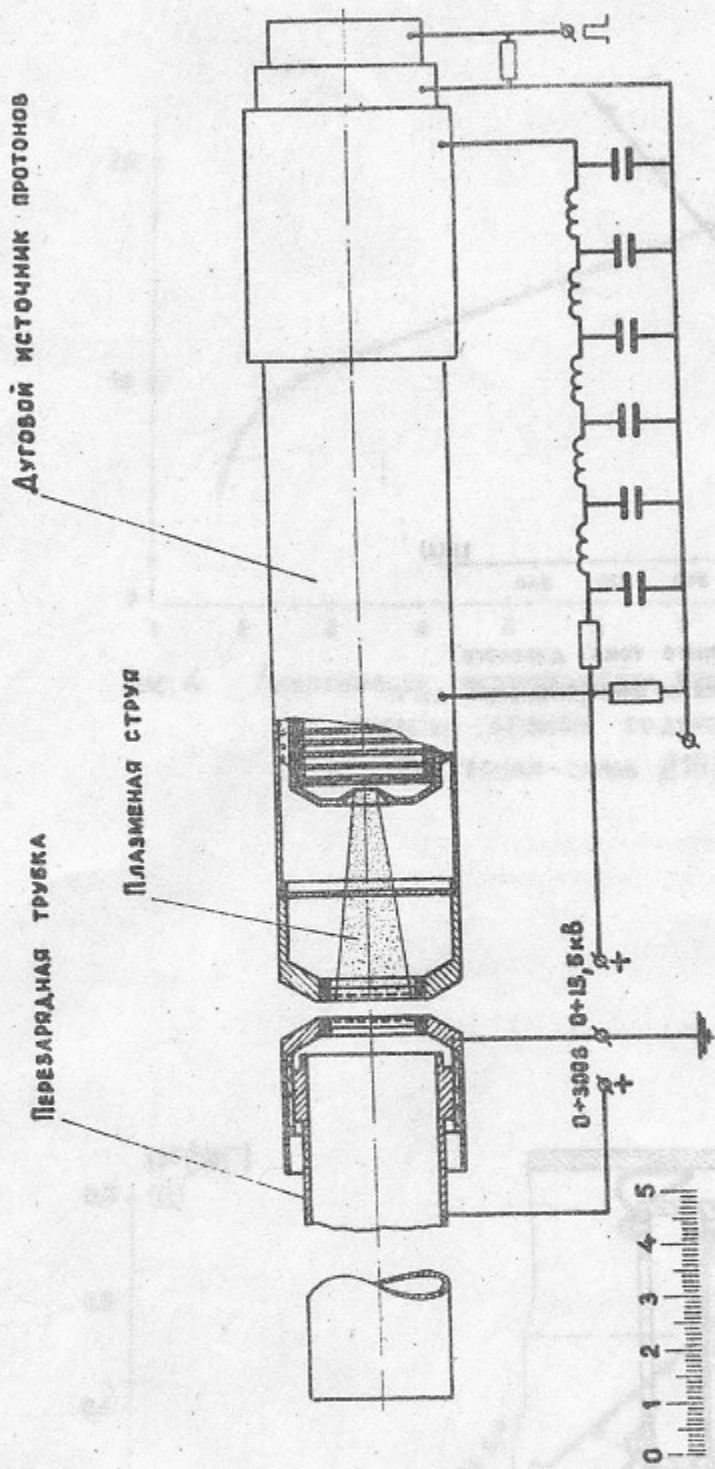


Рис. 1 Конструкция и схема питания источника нейтральных атомов и отрицательных ионов водорода.

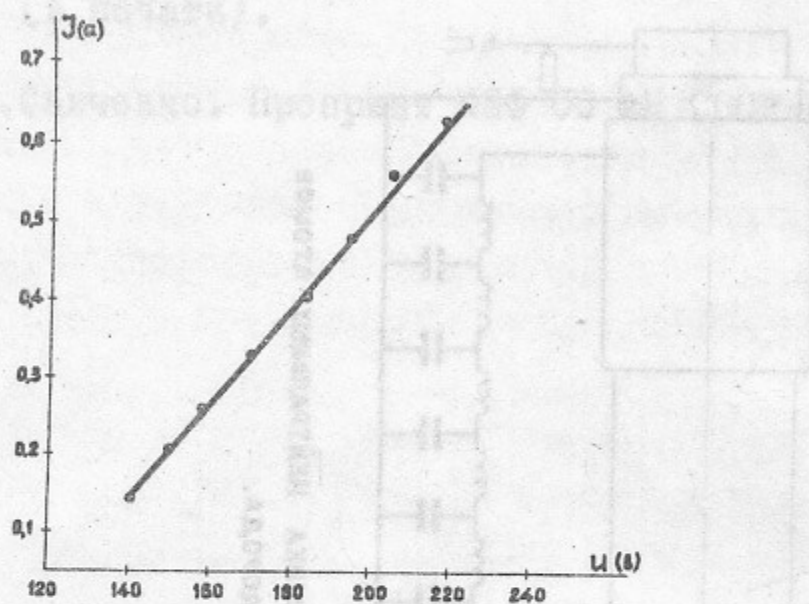


Рис.2 Зависимость протонного тока дугового источника от напряжения на линии, питająщей дугу.

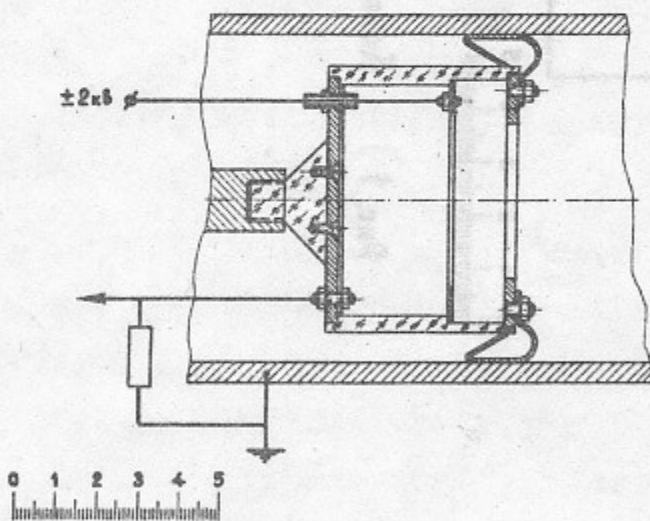


Рис. 3 Измеритель тока H^+ и H^- (на центральном электроде -2 кб) и вторичной электронной эмиссии, вызываемой H^+ (на центральном электроде $+2\text{ кб}$)

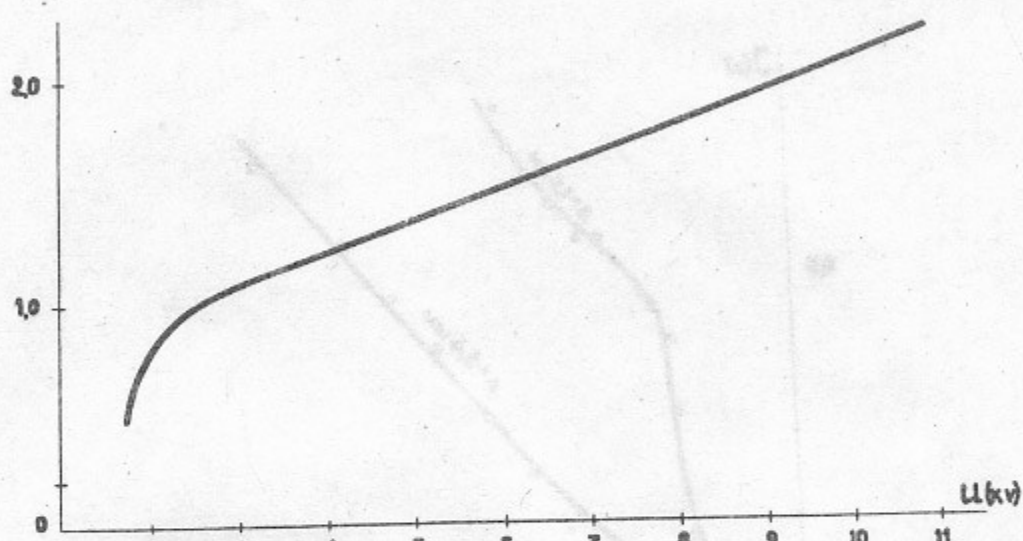


Рис. 4 Зависимость коэффициента вторичной эмиссии H° от
ЭНЕРГИИ АТОМОВ ВОДОРОДА.
(МАТЕРИАЛ - сплав Д16)

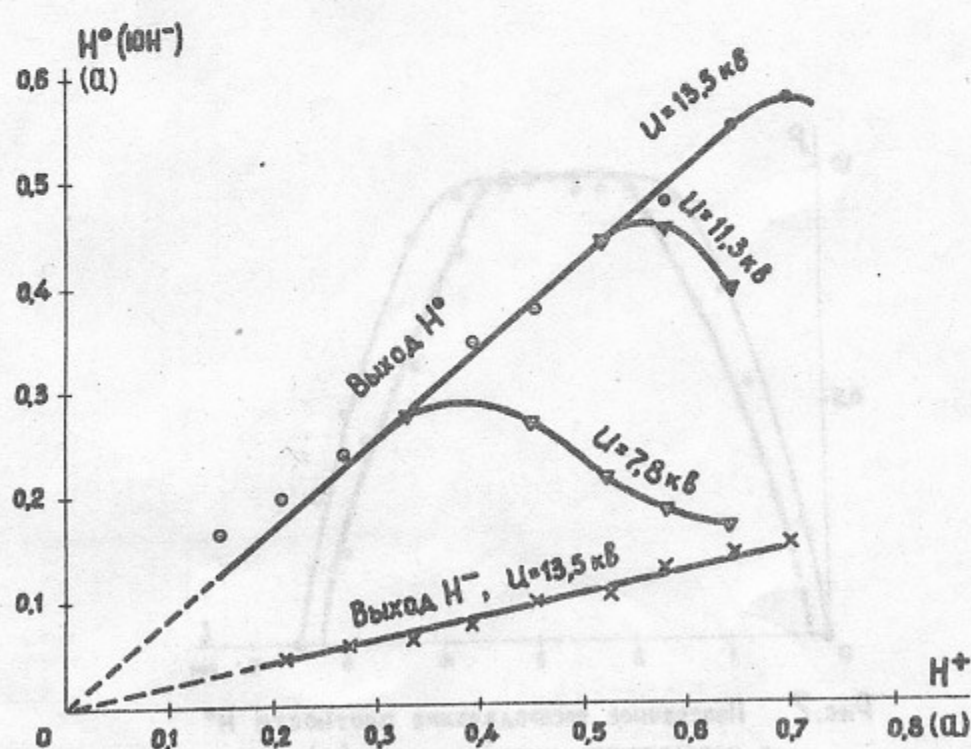


Рис. 5 Зависимость выхода H° и H^- от величины
ПРОТОНОГО ТОКА ДУГОВОГО ИСТОЧНИКА ;
РАССТОЯНИЕ МЕЖДУ СЕТКАМИ $\Delta = 3,4$ мм.

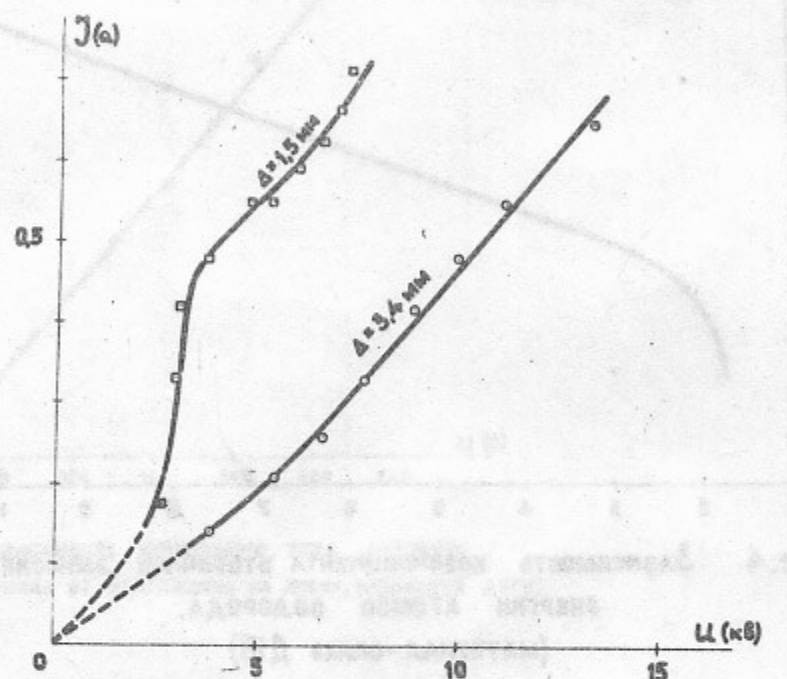


Рис. 6 Зависимость характерного протонного тока
от вытягивающего напряжения.

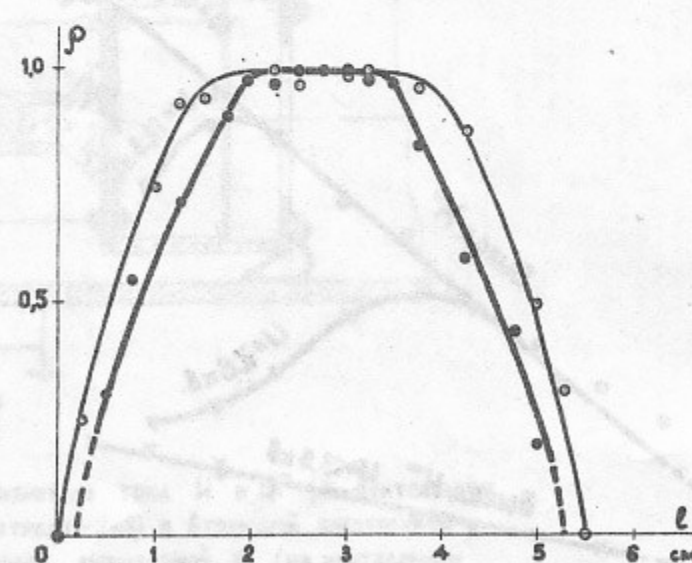


Рис. 7 Поперечное распределение плотности N°
в направлении нитей сетки (•) и в
перпендикулярном направлении – (○).

Ответственный за выпуск Ю.Г.Кононенко

Подписано к печати 3.03.1967 года

Заказ 100, 0,2 печ.л., тираж 200 экз.
Бесплатно.

Отпечатано на ротапринте в ИЯФ СО АН
СССР.